

(485)

13 Cr 鋼の腐食特性と使用限界環境

新日本製鐵(株) 鋼管研究センター ○伝宝幸三, 宮坂明博
小川洋之

1. 緒 言

著者らはこれまでに高合金鋼管の使用限界環境を電気化学的測定により設定する方法を提唱してきた^{1,2)}。その結果、オーステナイト系合金および二相ステンレス鋼の高温高圧サワーガス環境中での電気化学的測定によって決定した腐食形態と実際の腐食形態とは良く一致することが判明した²⁾。本報告では、13 Cr 鋼の使用限界環境の設定を行った結果について述べる。

2. 実験方法

試験材にはSUS 420J1相当の13 Cr 鋼を用い、Table 1に示した環境中で腐食速度およびdepassivation pHの測定を行った。

3. 実験結果

(1)腐食速度: CO₂分圧が40 atmの場合に得られた腐食速度の温度依存性をFig.1に示した。腐食速度は温度の上昇とともに大きくなり、250°Cでは約500 mddと極めて大きい値を示した。

(2)depassivation pH(pH_d): 25°Cの3%NaCl水溶液中で測定したpH_dの雰囲気ガスの種類およびガス分圧依存性をFig.2に示した。CO₂ガスはpH_dには影響を及ぼさない。一方、H₂Sが混入すると、その分圧がわずか10⁻⁴ atmでもpH_dは約3.5まで上昇した。また、温度の上昇とともにpH_dは大きくなり、150°CではpH_d=3.8となった。

(3)使用限界環境の設定: 全面腐食と局部腐食の境界は環境のpHと材料のpH_dとから決定できる²⁾。環境のpHは熱力学的に推定し²⁾、実測されたpH_dとからpH=pH_dの境界線を得、13 Cr 鋼のCO₂環境での使用限界環境としてFig.3を得た。全面腐食が発生することなく13 Cr 鋼を使用できる環境はpH≥pH_dの領域に限られることがわかる。同様の考え方によりH₂S+CO₂混合ガス環境中の全面腐食→局部腐食の遷移境界線を得ることができる。

<参考文献>

- 1) 伝宝, 宮坂, 小川: 腐食防食'86, A 201(1986).
- 2) 宮坂, 伝宝, 小川: 腐食防食'86, A 202(1986).

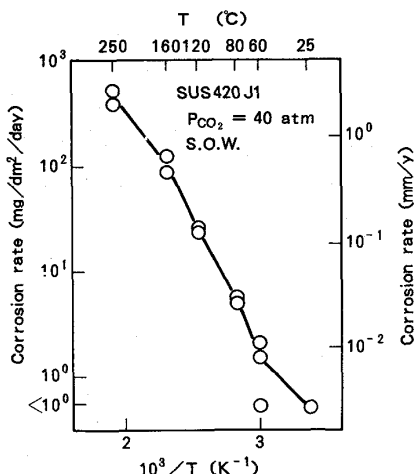


Fig. 1 Temperature dependence of corrosion rate

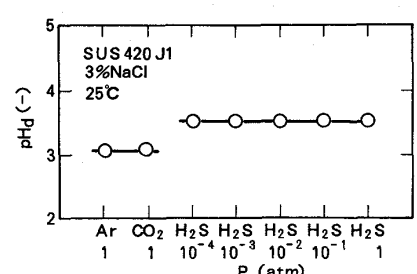


Fig. 2 Pressure dependence of pHd

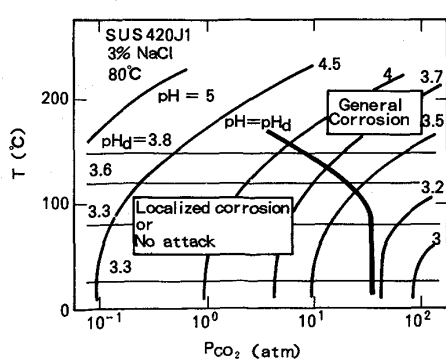


Fig. 3 Active-passive transition line predicted by electrochemical measurement